

図-1(a) 一層地盤

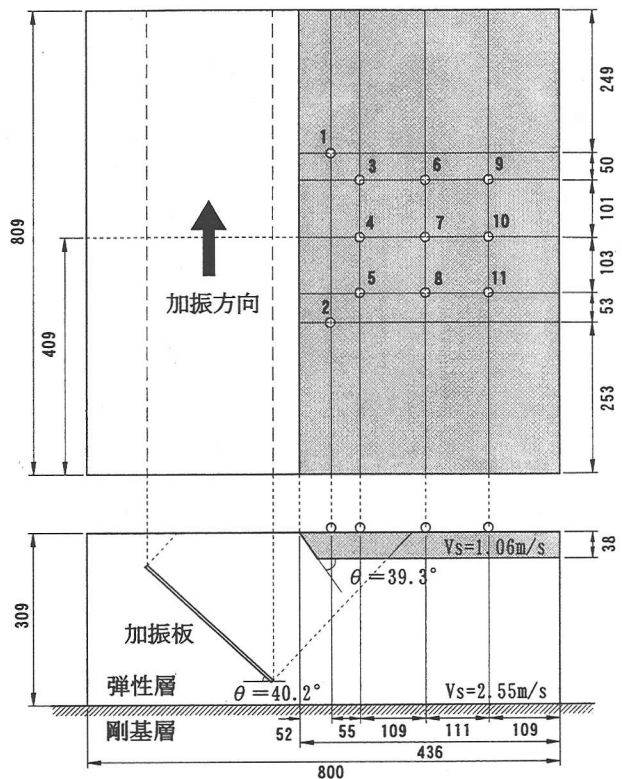


図-1(b) 二次元不整形地盤

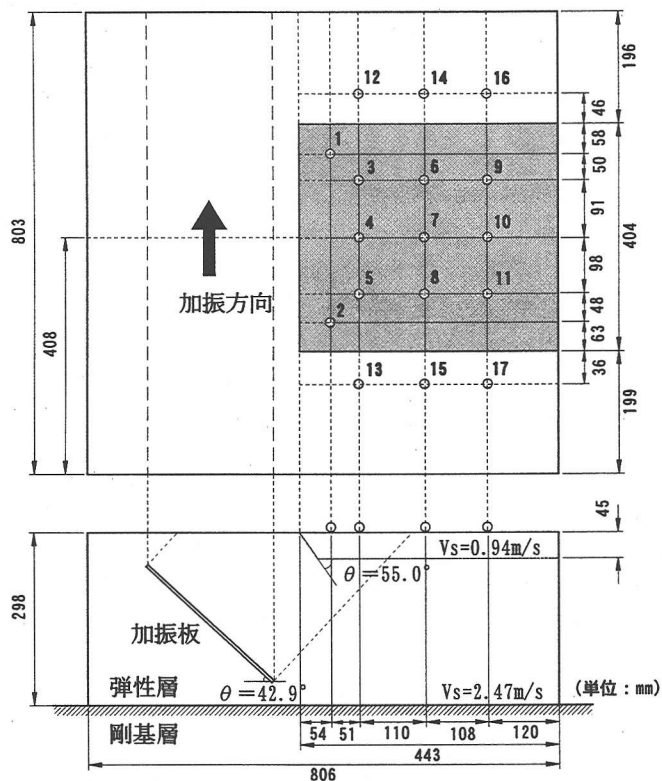


図-1(c) 三次元不整形地盤

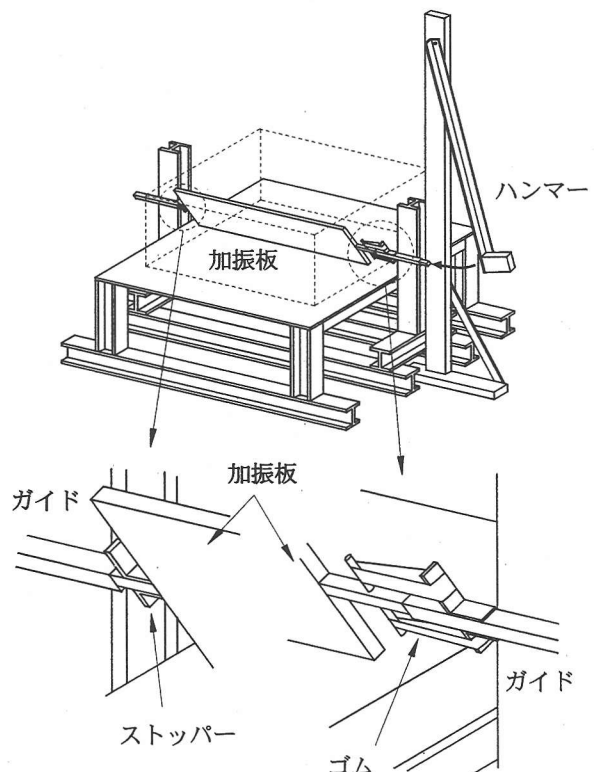


図-2 発振装置

流損式変位計とレーザー式変位計を用いた。変位測定位置に紙製のピラミッド型の5面体を固定し、それにレーザー光を照射して3方向の変位を測定した。変位測定位置は模型自由表面上とし、図-1の各実験模型内に太字の番号で示されている。二次元不整形

地盤では、測点1～11を軟層地盤上に設置した。また、三次元不整形地盤については、測点1～11を軟層上に、測点12～17を硬層上に設置した。加振板の変位測定には渦電流損式変位計を用いた。サンプリング周波数は1000Hzとし、4秒間の記録を得ている。

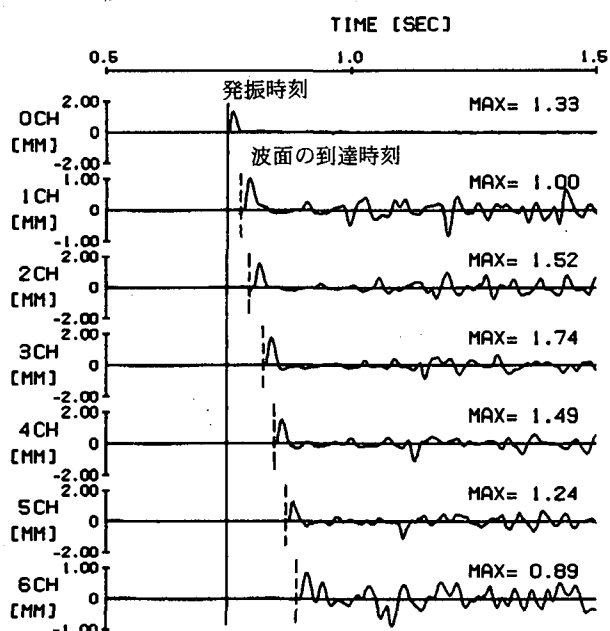


図-3(a) 実験結果（一層地盤）

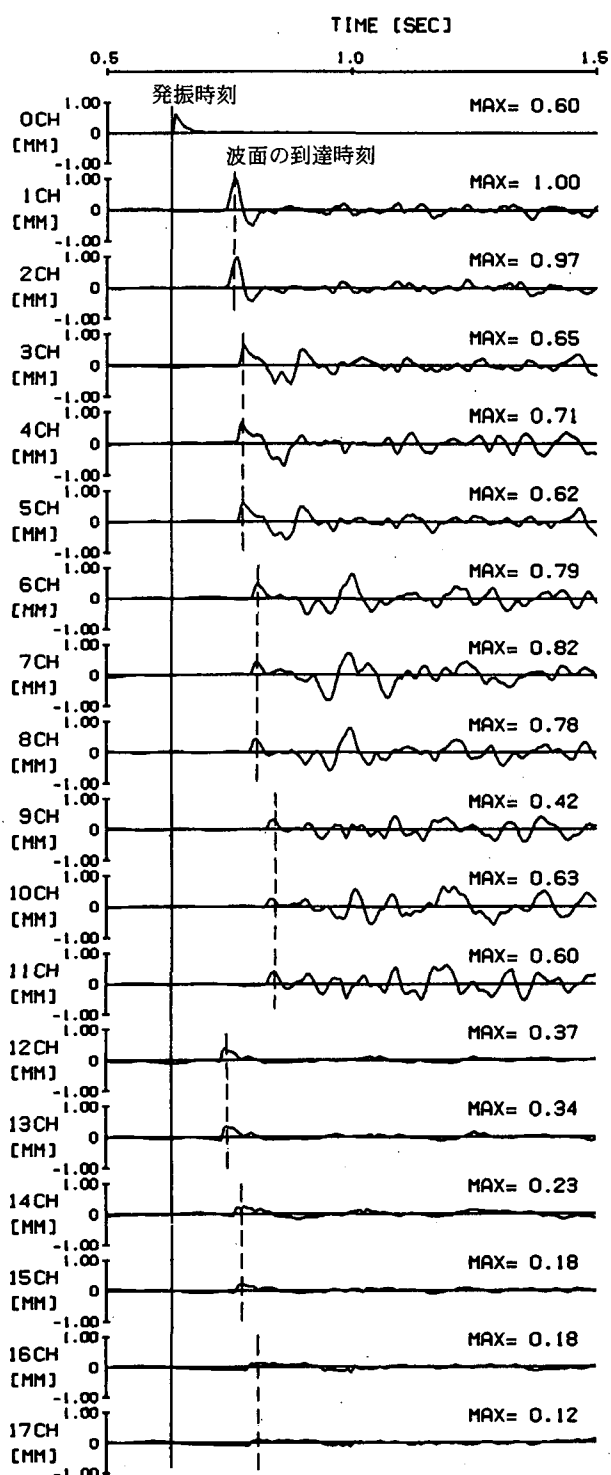


図-3(c) 実験結果（三次元不整形地盤）

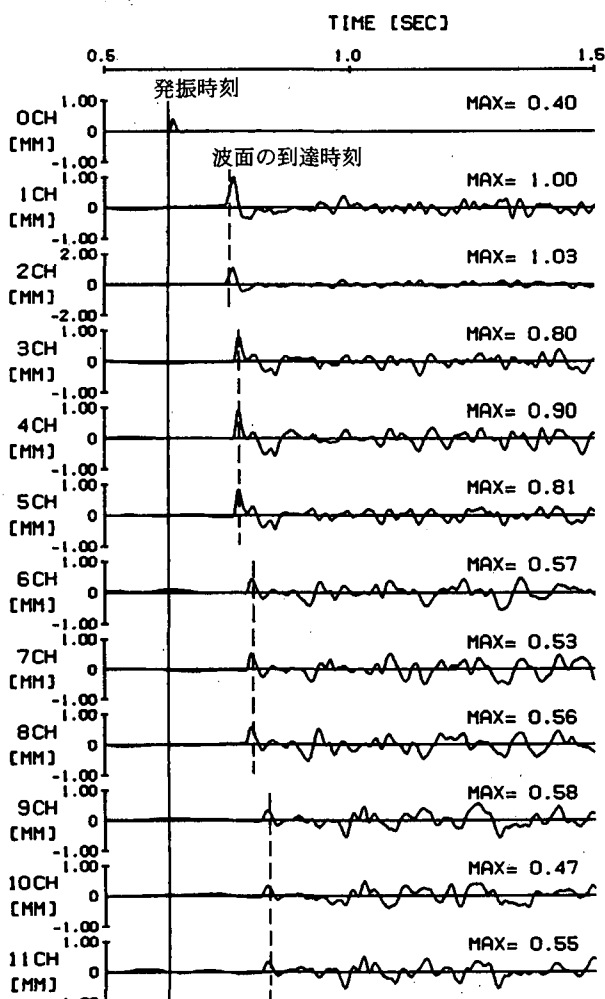


図-3(b) 実験結果（二次元不整形地盤）

3. 実験結果と考察

図-3(a)～(c)には、各実験で得られた結果が示さ

れている。実験実施面で、1回の加振で全ての測定点の変位を測定することは不可能だったので、数回の加振で変位を測定した。その際に、CH1の変位との関係を得るために、必ずCH1と他のCHの測定を行なった。図-3には、1chの加振方向の最大振幅で各測定点の変位を正規化したものが示されている。測定結果から加振方向、上下方向及び加振方向と直交した方向の3方向の変位を算定したが、各実験とも加振方向の変位が圧倒的に大きかったので、それ

